

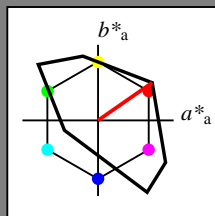
Eingabe: Farbmetrisches Fernseh-Licht-System TLS18

für Buntton  $h^* = lab^*h = 35/360 = 0.097$  $lab^*ich$  und  $lab^*nch$ 

D65: Buntton O

LCH\*Ma: 53 87 35

olv\*Ma: 1.0 0.0 0.0

Dreiecks-Helligkeit  $t^*$ 

%Umfang  
 $u^*_{rel} = 118$   
%Regularität  
 $g^*_{H,rel} = 22$   
 $g^*_{C,rel} = 40$

TLS18; adaptierte CIELAB-Daten

	$L^*=L^*_a$	$a^*_a$	$b^*_a$	$C^*_{ab,a}$	$h^*_{ab,a}$
O <sub>Ma</sub>	52.76	71.63	49.88	87.29	35
Y <sub>Ma</sub>	92.74	-20.02	84.97	87.3	103
L <sub>Ma</sub>	84.0	-78.98	73.94	108.2	137
C <sub>Ma</sub>	87.14	-44.41	-13.11	46.32	196
V <sub>Ma</sub>	35.47	64.92	-95.06	115.12	304
M <sub>Ma</sub>	59.01	89.33	-55.67	105.26	328
N <sub>Ma</sub>	18.01	0.0	0.0	0.0	0
W <sub>Ma</sub>	95.41	0.0	0.0	0.0	0
R <sub>CIE</sub>	39.92	58.74	27.99	65.07	25
J <sub>CIE</sub>	81.26	-2.88	71.56	71.62	92
G <sub>CIE</sub>	52.23	-42.41	13.6	44.55	162
B <sub>CIE</sub>	30.57	1.41	-46.46	46.49	272

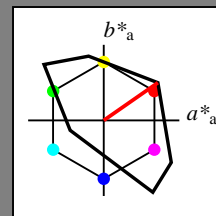
Ausgabe: Farbmetrisches Fernseh-Licht-System TLS18

für Buntton  $h^* = lab^*h = 35/360 = 0.097$  $lab^*ich$  und  $lab^*nch$ 

D65: Buntton O

LCH\*Ma: 53 87 35

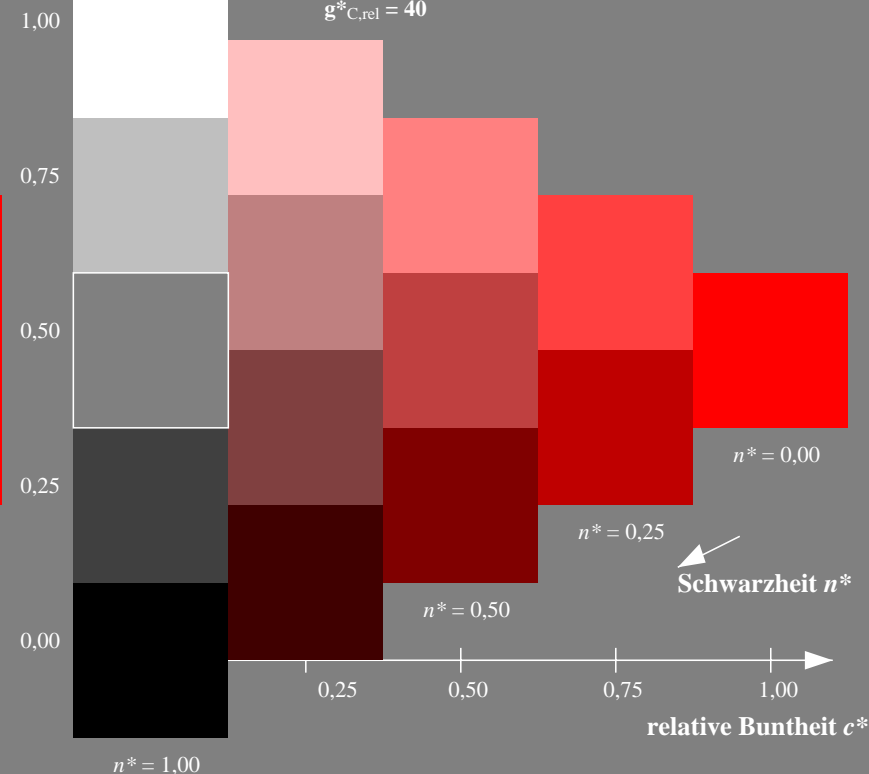
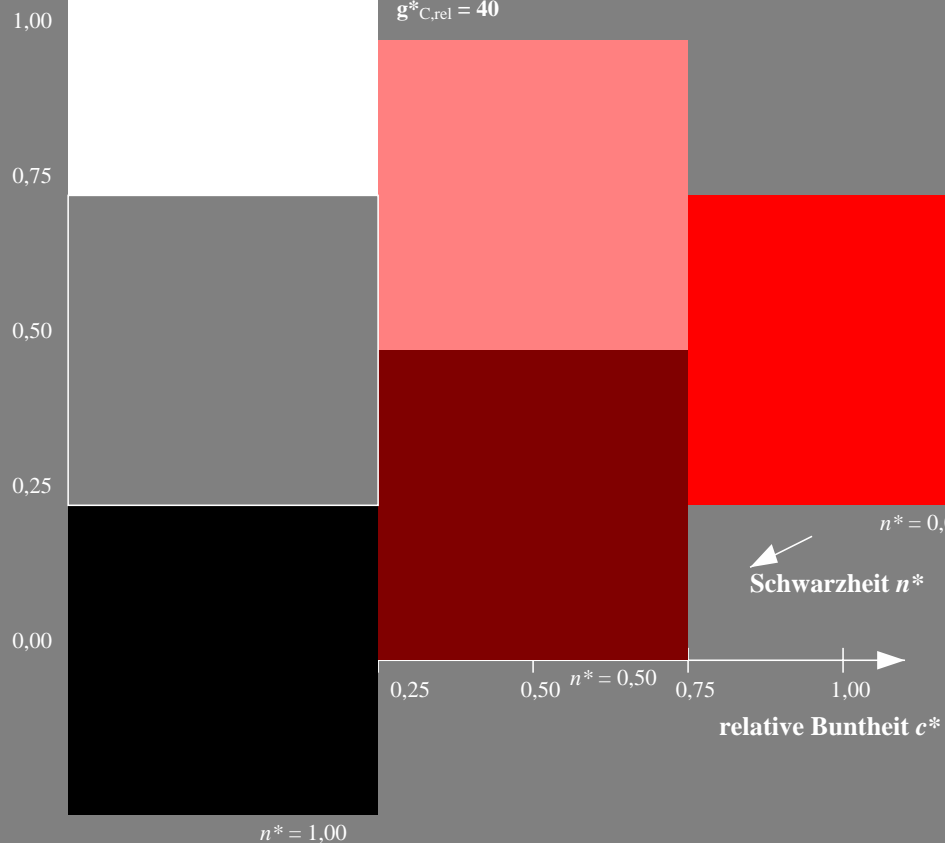
olv\*Ma: 1.0 0.0 0.0

Dreiecks-Helligkeit  $t^*$ 

%Umfang  
 $u^*_{rel} = 118$   
%Regularität  
 $g^*_{H,rel} = 22$   
 $g^*_{C,rel} = 40$

TLS18; adaptierte CIELAB-Daten

	$L^*=L^*_a$	$a^*_a$	$b^*_a$	$C^*_{ab,a}$	$h^*_{ab,a}$
O <sub>Ma</sub>	52.76	71.63	49.88	87.29	35
Y <sub>Ma</sub>	92.74	-20.02	84.97	87.3	103
L <sub>Ma</sub>	84.0	-78.98	73.94	108.2	137
C <sub>Ma</sub>	87.14	-44.41	-13.11	46.32	196
V <sub>Ma</sub>	35.47	64.92	-95.06	115.12	304
M <sub>Ma</sub>	59.01	89.33	-55.67	105.26	328
N <sub>Ma</sub>	18.01	0.0	0.0	0.0	0
W <sub>Ma</sub>	95.41	0.0	0.0	0.0	0
R <sub>CIE</sub>	39.92	58.74	27.99	65.07	25
J <sub>CIE</sub>	81.26	-2.88	71.56	71.62	92
G <sub>CIE</sub>	52.23	-42.41	13.6	44.55	162
B <sub>CIE</sub>	30.57	1.41	-46.46	46.49	272



NG890-7, 3stufige Reihen für konstanten CIELAB Buntton 35/360 = 0.097 (links)

5stufige Reihen für konstanten CIELAB Buntton 35/360 = 0.097 (rechts)

BAM-Prüfvorlage NG89; Farbmetrik-Systeme ORS18 &amp; ORS18input: olv\* setrgbcolor

D65: 3 und 5stufige Farbreihen für 10 Bunttöne

output: Startup (S) data dependend

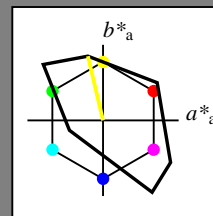
Eingabe: Farbmetrisches Fernseh-Licht-System TLS18

für Buntton  $h^* = lab^*h = 103/360 = 0.287$  $lab^*ich$  und  $lab^*nch$ 

D65: Buntton Y

LCH\*Ma: 93 87 103

olv\*Ma: 1.0 1.0 0.0

Dreiecks-Helligkeit  $t^*$ 

%Umfang

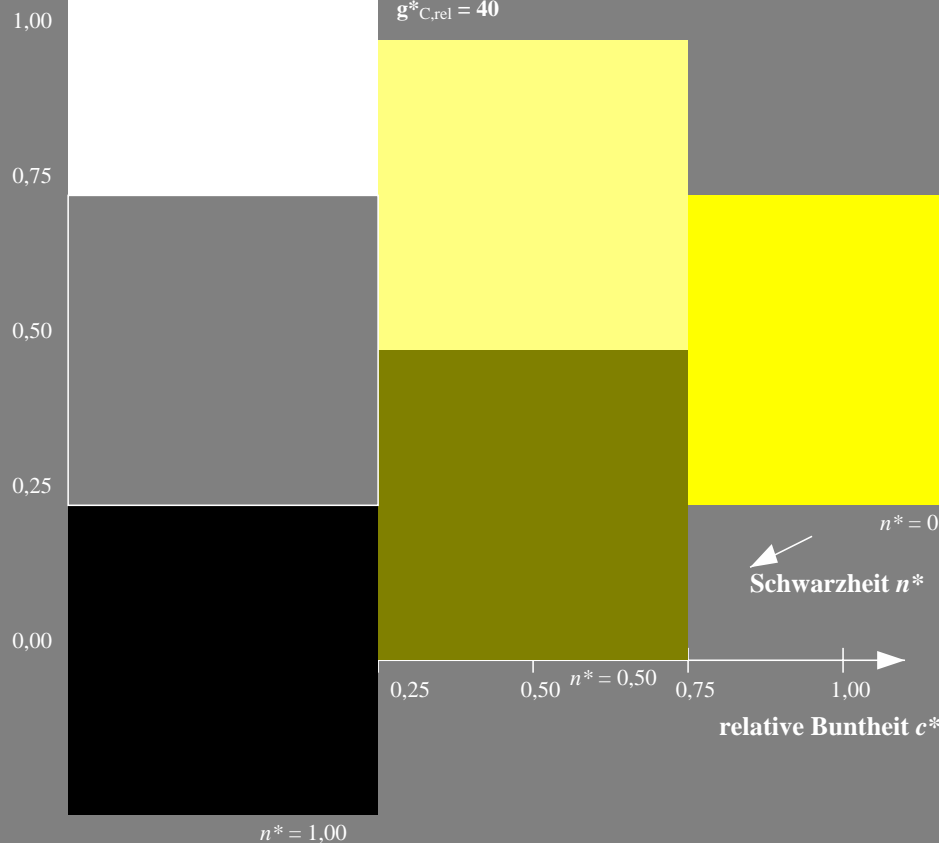
 $u^*_{rel} = 118$ 

%Regularität

 $g^*_{H,rel} = 22$  $g^*_{C,rel} = 40$ 

TLS18; adaptierte CIELAB-Daten

	$L^*=L^*_a$	$a^*_a$	$b^*_a$	$C^*_{ab,a}$	$h^*_{ab,a}$
O <sub>Ma</sub>	52.76	71.63	49.88	87.29	35
Y <sub>Ma</sub>	92.74	-20.02	84.97	87.3	103
L <sub>Ma</sub>	84.0	-78.98	73.94	108.2	137
C <sub>Ma</sub>	87.14	-44.41	-13.11	46.32	196
V <sub>Ma</sub>	35.47	64.92	-95.06	115.12	304
M <sub>Ma</sub>	59.01	89.33	-55.67	105.26	328
N <sub>Ma</sub>	18.01	0.0	0.0	0.0	0
W <sub>Ma</sub>	95.41	0.0	0.0	0.0	0
R <sub>CIE</sub>	39.92	58.74	27.99	65.07	25
J <sub>CIE</sub>	81.26	-2.88	71.56	71.62	92
G <sub>CIE</sub>	52.23	-42.41	13.6	44.55	162
B <sub>CIE</sub>	30.57	1.41	-46.46	46.49	272



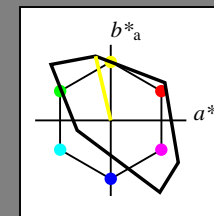
Ausgabe: Farbmetrisches Fernseh-Licht-System TLS18

für Buntton  $h^* = lab^*h = 103/360 = 0.287$  $lab^*ich$  und  $lab^*nch$ 

D65: Buntton Y

LCH\*Ma: 93 87 103

olv\*Ma: 1.0 1.0 0.0

Dreiecks-Helligkeit  $t^*$ 

%Umfang

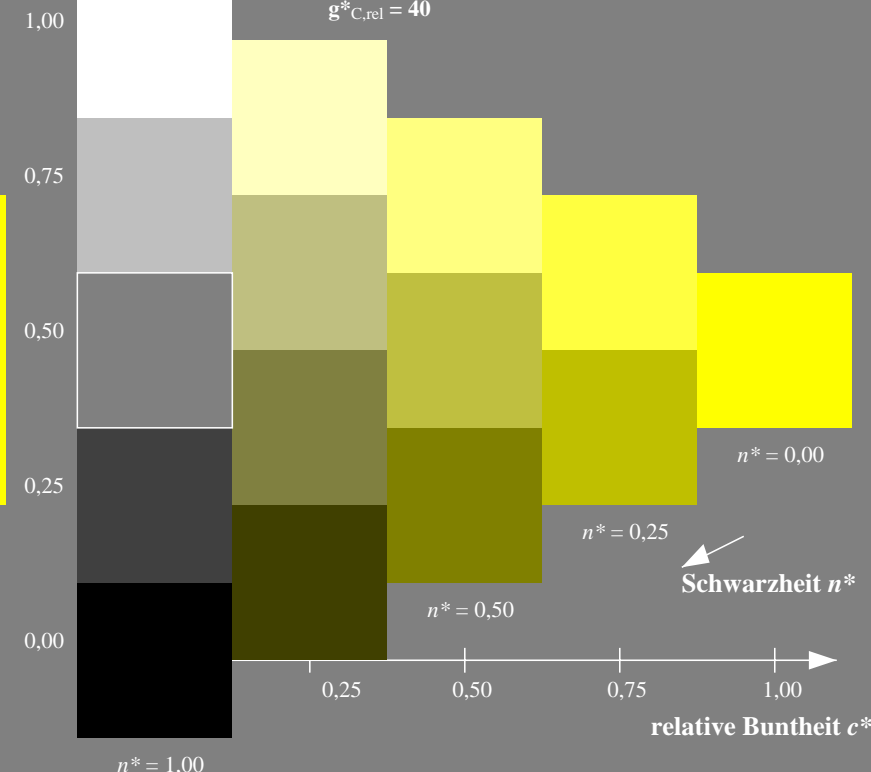
 $u^*_{rel} = 118$ 

%Regularität

 $g^*_{H,rel} = 22$  $g^*_{C,rel} = 40$ 

TLS18; adaptierte CIELAB-Daten

	$L^*=L^*_a$	$a^*_a$	$b^*_a$	$C^*_{ab,a}$	$h^*_{ab,a}$
O <sub>Ma</sub>	52.76	71.63	49.88	87.29	35
Y <sub>Ma</sub>	92.74	-20.02	84.97	87.3	103
L <sub>Ma</sub>	84.0	-78.98	73.94	108.2	137
C <sub>Ma</sub>	87.14	-44.41	-13.11	46.32	196
V <sub>Ma</sub>	35.47	64.92	-95.06	115.12	304
M <sub>Ma</sub>	59.01	89.33	-55.67	105.26	328
N <sub>Ma</sub>	18.01	0.0	0.0	0.0	0
W <sub>Ma</sub>	95.41	0.0	0.0	0.0	0
R <sub>CIE</sub>	39.92	58.74	27.99	65.07	25
J <sub>CIE</sub>	81.26	-2.88	71.56	71.62	92
G <sub>CIE</sub>	52.23	-42.41	13.6	44.55	162
B <sub>CIE</sub>	30.57	1.41	-46.46	46.49	272



NG890-7, 3stufige Reihen für konstanten CIELAB Buntton 103/360 = 0.287 (links)

5stufige Reihen für konstanten CIELAB Buntton 103/360 = 0.287 (rechts)

BAM-Prüfvorlage NG89; Farbmetrik-Systeme ORS18 &amp; ORS18input: olv\* setrgbcolor

D65: 3 und 5stufige Farbreihen für 10 Buntöne

output: Startup (S) data dependend

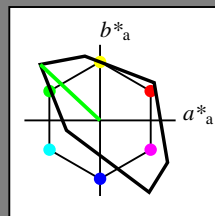
Eingabe: Farbmetrisches Fernseh-Licht-System TLS18

für Buntton  $h^* = lab^*h = 137/360 = 0.38$  $lab^*ich$  und  $lab^*nch$ 

D65: Buntton L

LCH\*Ma: 84 108 137

olv\*Ma: 0.0 1.0 0.0

Dreiecks-Helligkeit  $t^*$ 

%Umfang  
 $u^*_{rel} = 118$   
%Regularität  
 $g^*_{H,rel} = 22$   
 $g^*_{C,rel} = 40$

TLS18; adaptierte CIELAB-Daten

	$L^*=L^*_a$	$a^*_a$	$b^*_a$	$C^*_{ab,a}$	$h^*_{ab,a}$
O <sub>Ma</sub>	52.76	71.63	49.88	87.29	35
Y <sub>Ma</sub>	92.74	-20.02	84.97	87.3	103
L <sub>Ma</sub>	84.0	-78.98	73.94	108.2	137
C <sub>Ma</sub>	87.14	-44.41	-13.11	46.32	196
V <sub>Ma</sub>	35.47	64.92	-95.06	115.12	304
M <sub>Ma</sub>	59.01	89.33	-55.67	105.26	328
N <sub>Ma</sub>	18.01	0.0	0.0	0.0	0
W <sub>Ma</sub>	95.41	0.0	0.0	0.0	0
R <sub>CIE</sub>	39.92	58.74	27.99	65.07	25
J <sub>CIE</sub>	81.26	-2.88	71.56	71.62	92
G <sub>CIE</sub>	52.23	-42.41	13.6	44.55	162
B <sub>CIE</sub>	30.57	1.41	-46.46	46.49	272

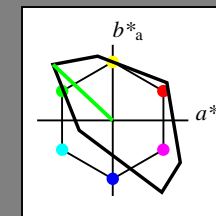
Ausgabe: Farbmetrisches Fernseh-Licht-System TLS18

für Buntton  $h^* = lab^*h = 137/360 = 0.38$  $lab^*ich$  und  $lab^*nch$ 

D65: Buntton L

LCH\*Ma: 84 108 137

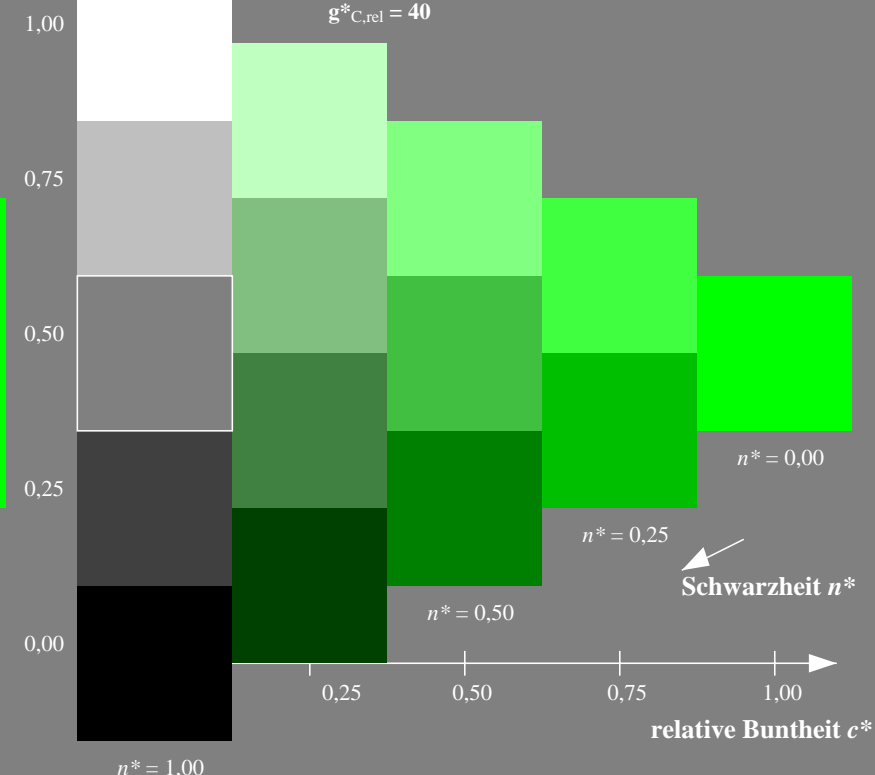
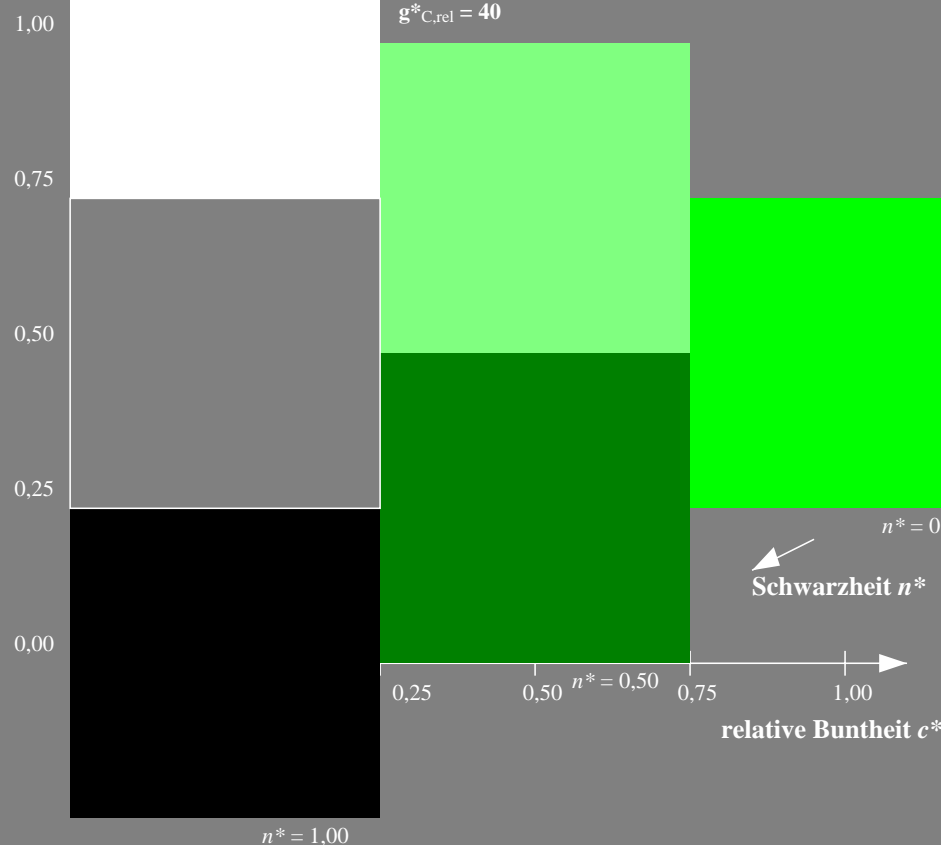
olv\*Ma: 0.0 1.0 0.0

Dreiecks-Helligkeit  $t^*$ 

%Umfang  
 $u^*_{rel} = 118$   
%Regularität  
 $g^*_{H,rel} = 22$   
 $g^*_{C,rel} = 40$

TLS18; adaptierte CIELAB-Daten

	$L^*=L^*_a$	$a^*_a$	$b^*_a$	$C^*_{ab,a}$	$h^*_{ab,a}$
O <sub>Ma</sub>	52.76	71.63	49.88	87.29	35
Y <sub>Ma</sub>	92.74	-20.02	84.97	87.3	103
L <sub>Ma</sub>	84.0	-78.98	73.94	108.2	137
C <sub>Ma</sub>	87.14	-44.41	-13.11	46.32	196
V <sub>Ma</sub>	35.47	64.92	-95.06	115.12	304
M <sub>Ma</sub>	59.01	89.33	-55.67	105.26	328
N <sub>Ma</sub>	18.01	0.0	0.0	0.0	0
W <sub>Ma</sub>	95.41	0.0	0.0	0.0	0
R <sub>CIE</sub>	39.92	58.74	27.99	65.07	25
J <sub>CIE</sub>	81.26	-2.88	71.56	71.62	92
G <sub>CIE</sub>	52.23	-42.41	13.6	44.55	162
B <sub>CIE</sub>	30.57	1.41	-46.46	46.49	272



NG890-7, 3stufige Reihen für konstanten CIELAB Buntton 137/360 = 0.38 (links)

5stufige Reihen für konstanten CIELAB Buntton 137/360 = 0.38 (rechts)

BAM-Prüfvorlage NG89; Farbmetrik-Systeme ORS18 &amp; ORS18input: olv\* setrgbcolor

D65: 3 und 5stufige Farbreihen für 10 Bunttöne

output: Startup (S) data dependend

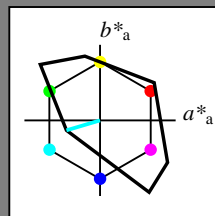
Eingabe: Farbmetrisches Fernseh-Licht-System TLS18

für Buntton  $h^* = lab^*h = 196/360 = 0.546$  $lab^*ich$  und  $lab^*nch$ 

D65: Buntton C

LCH\*Ma: 87 46 196

olv\*Ma: 0.0 1.0 1.0

Dreiecks-Helligkeit  $t^*$ 

%Umfang  
 $u^*_{rel} = 118$   
%Regularität  
 $g^*_{H,rel} = 22$   
 $g^*_{C,rel} = 40$

TLS18; adaptierte CIELAB-Daten

	$L^*=L^*_a$	$a^*_a$	$b^*_a$	$C^*_{ab,a}$	$h^*_{ab,a}$
O <sub>Ma</sub>	52.76	71.63	49.88	87.29	35
Y <sub>Ma</sub>	92.74	-20.02	84.97	87.3	103
L <sub>Ma</sub>	84.0	-78.98	73.94	108.2	137
C <sub>Ma</sub>	87.14	-44.41	-13.11	46.32	196
V <sub>Ma</sub>	35.47	64.92	-95.06	115.12	304
M <sub>Ma</sub>	59.01	89.33	-55.67	105.26	328
N <sub>Ma</sub>	18.01	0.0	0.0	0.0	0
W <sub>Ma</sub>	95.41	0.0	0.0	0.0	0
R <sub>CIE</sub>	39.92	58.74	27.99	65.07	25
J <sub>CIE</sub>	81.26	-2.88	71.56	71.62	92
G <sub>CIE</sub>	52.23	-42.41	13.6	44.55	162
B <sub>CIE</sub>	30.57	1.41	-46.46	46.49	272

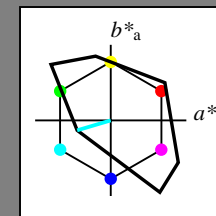
Ausgabe: Farbmetrisches Fernseh-Licht-System TLS18

für Buntton  $h^* = lab^*h = 196/360 = 0.546$  $lab^*ich$  und  $lab^*nch$ 

D65: Buntton C

LCH\*Ma: 87 46 196

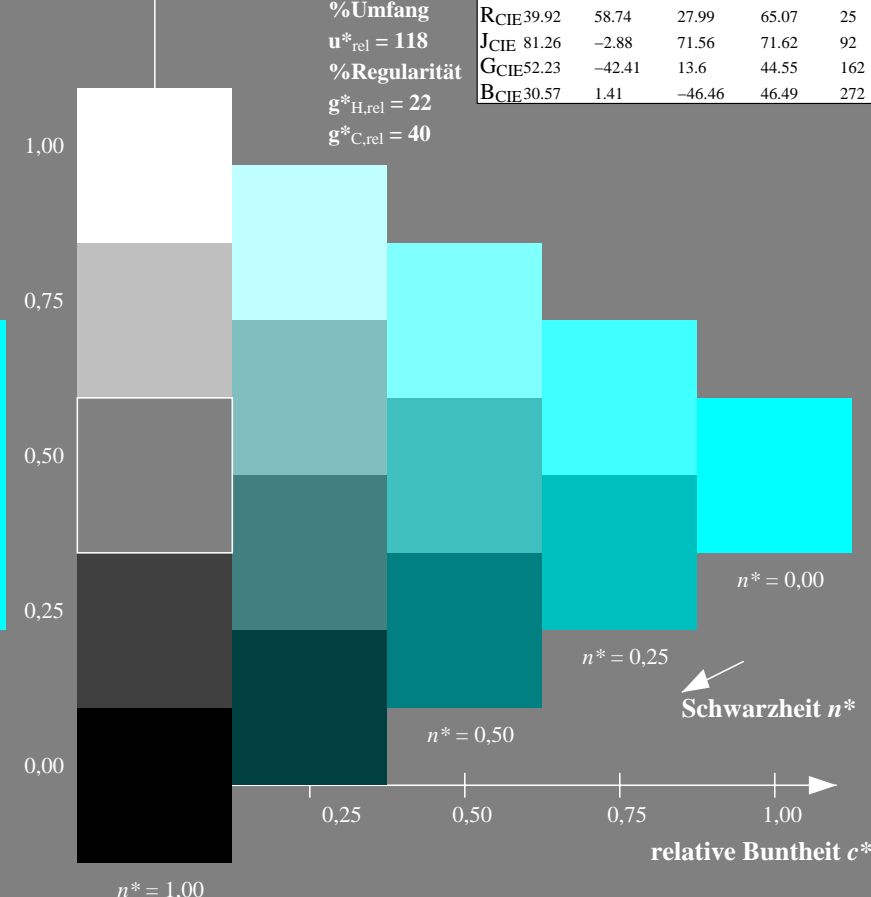
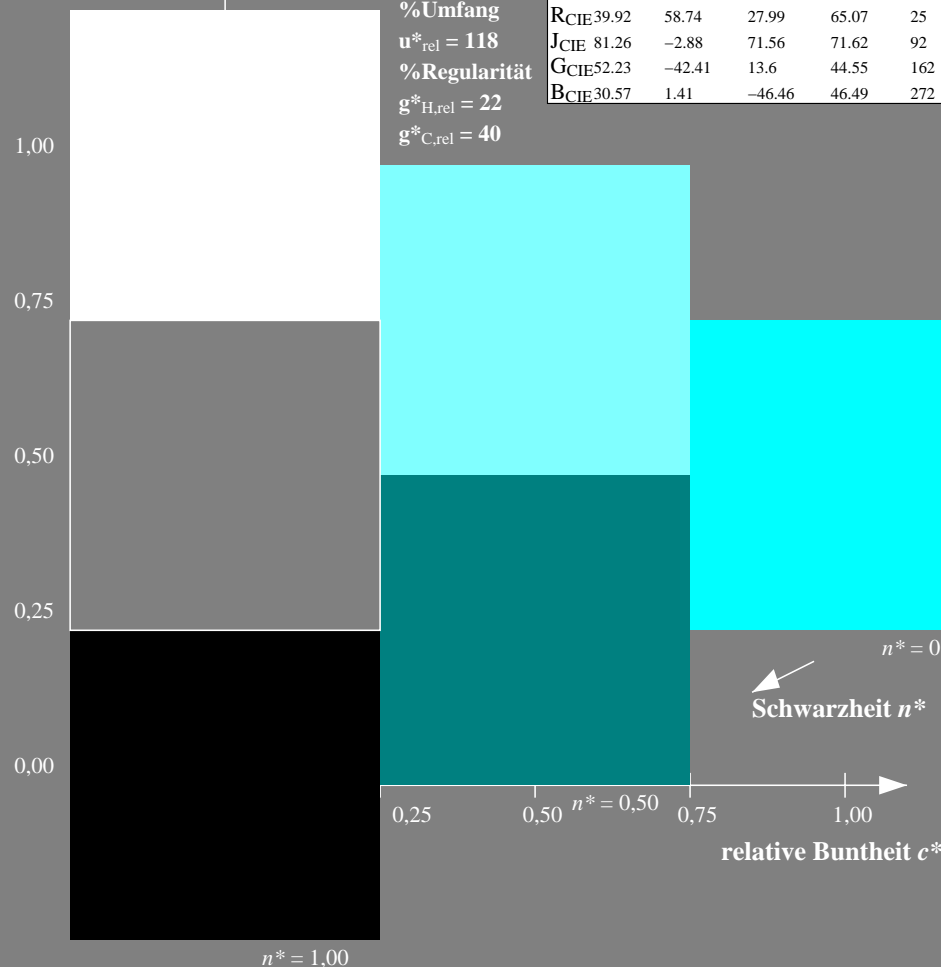
olv\*Ma: 0.0 1.0 1.0

Dreiecks-Helligkeit  $t^*$ 

%Umfang  
 $u^*_{rel} = 118$   
%Regularität  
 $g^*_{H,rel} = 22$   
 $g^*_{C,rel} = 40$

TLS18; adaptierte CIELAB-Daten

	$L^*=L^*_a$	$a^*_a$	$b^*_a$	$C^*_{ab,a}$	$h^*_{ab,a}$
O <sub>Ma</sub>	52.76	71.63	49.88	87.29	35
Y <sub>Ma</sub>	92.74	-20.02	84.97	87.3	103
L <sub>Ma</sub>	84.0	-78.98	73.94	108.2	137
C <sub>Ma</sub>	87.14	-44.41	-13.11	46.32	196
V <sub>Ma</sub>	35.47	64.92	-95.06	115.12	304
M <sub>Ma</sub>	59.01	89.33	-55.67	105.26	328
N <sub>Ma</sub>	18.01	0.0	0.0	0.0	0
W <sub>Ma</sub>	95.41	0.0	0.0	0.0	0
R <sub>CIE</sub>	39.92	58.74	27.99	65.07	25
J <sub>CIE</sub>	81.26	-2.88	71.56	71.62	92
G <sub>CIE</sub>	52.23	-42.41	13.6	44.55	162
B <sub>CIE</sub>	30.57	1.41	-46.46	46.49	272



NG890-7, 3stufige Reihen für konstanten CIELAB Buntton 196/360 = 0.546 (links)

5stufige Reihen für konstanten CIELAB Buntton 196/360 = 0.546 (rechts)

BAM-Prüfvorlage NG89; Farbmetrik-Systeme ORS18 &amp; ORS18input: olv\* setrgbcolor

D65: 3 und 5stufige Farbreihen für 10 Bunttöne

output: Startup (S) data dependend

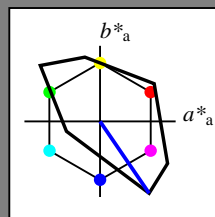
Eingabe: Farbmetrisches Fernseh-Licht-System TLS18

für Buntton  $h^* = lab^*h = 304/360 = 0.845$  $lab^*ich$  und  $lab^*nch$ 

D65: Buntton V

LCH\*Ma: 35 115 304

olv\*Ma: 0.0 0.0 1.0

Dreiecks-Helligkeit  $t^*$ 

TLS18; adaptierte CIELAB-Daten

	$L^*=L^*_a$	$a^*_a$	$b^*_a$	$C^*_{ab,a}$	$h^*_{ab,a}$
O <sub>Ma</sub>	52.76	71.63	49.88	87.29	35
Y <sub>Ma</sub>	92.74	-20.02	84.97	87.3	103
L <sub>Ma</sub>	84.0	-78.98	73.94	108.2	137
C <sub>Ma</sub>	87.14	-44.41	-13.11	46.32	196
V <sub>Ma</sub>	35.47	64.92	-95.06	115.12	304
M <sub>Ma</sub>	59.01	89.33	-55.67	105.26	328
N <sub>Ma</sub>	18.01	0.0	0.0	0.0	0
W <sub>Ma</sub>	95.41	0.0	0.0	0.0	0
R <sub>CIE</sub>	39.92	58.74	27.99	65.07	25
J <sub>CIE</sub>	81.26	-2.88	71.56	71.62	92
G <sub>CIE</sub>	52.23	-42.41	13.6	44.55	162
B <sub>CIE</sub>	30.57	1.41	-46.46	46.49	272

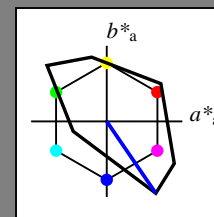
Ausgabe: Farbmetrisches Fernseh-Licht-System TLS18

für Buntton  $h^* = lab^*h = 304/360 = 0.845$  $lab^*ich$  und  $lab^*nch$ 

D65: Buntton V

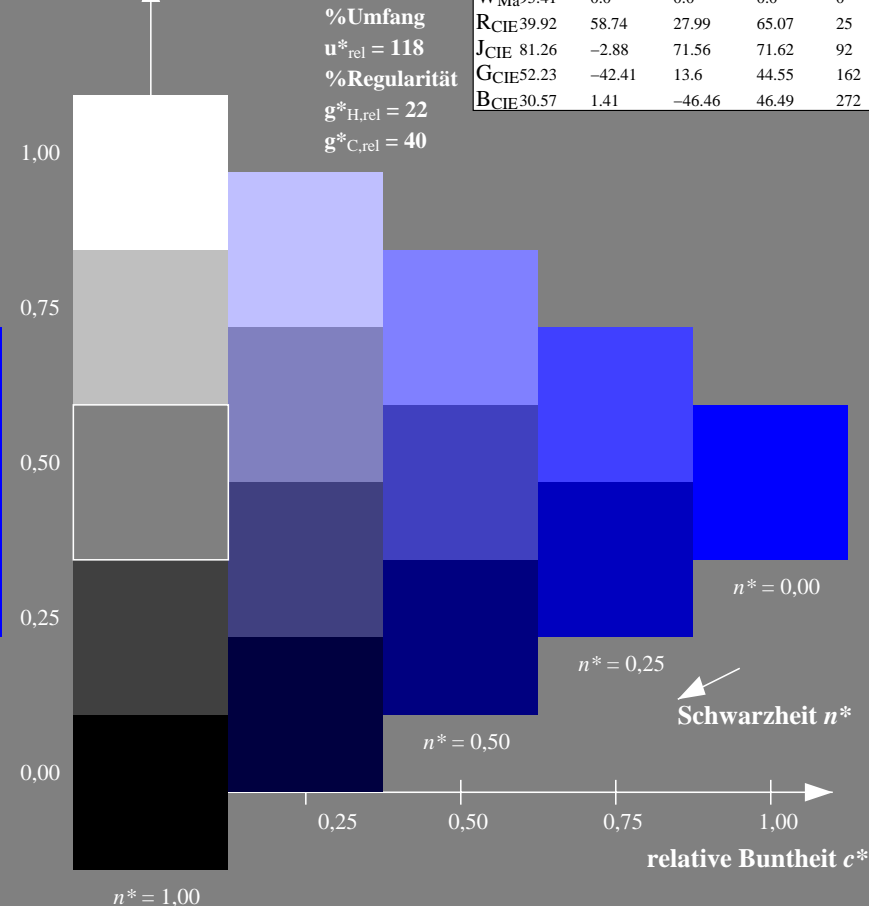
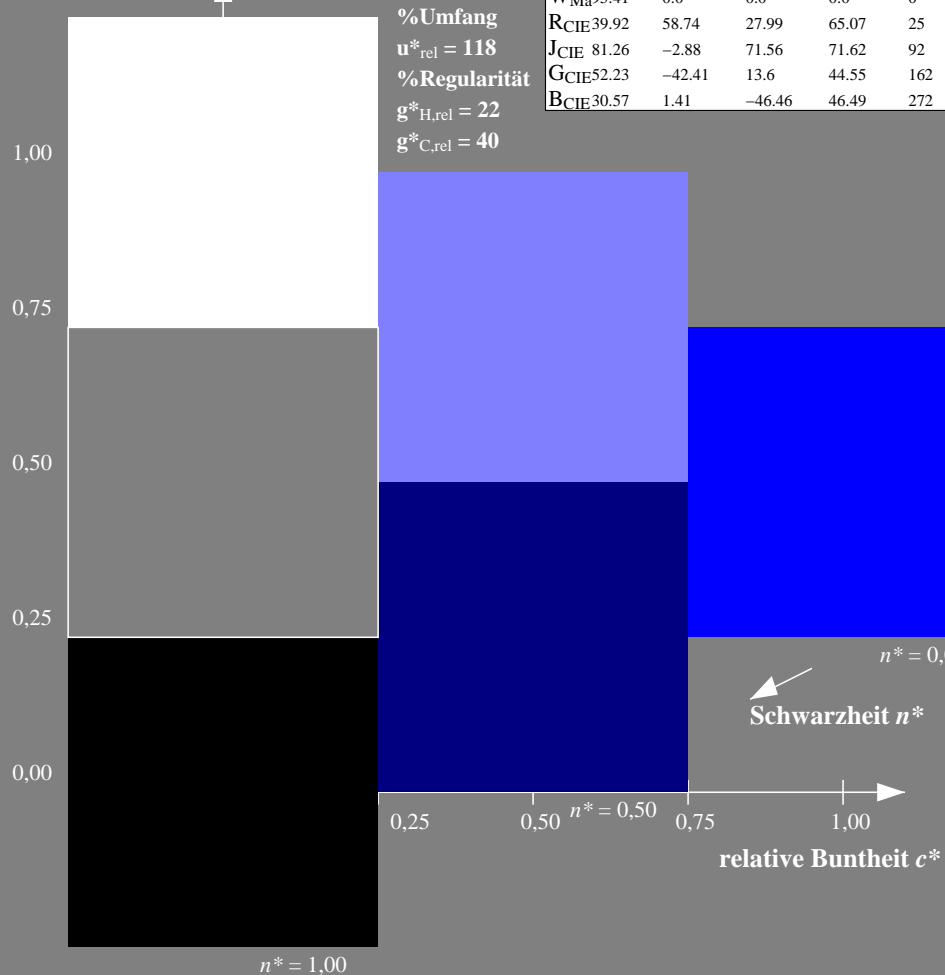
LCH\*Ma: 35 115 304

olv\*Ma: 0.0 0.0 1.0

Dreiecks-Helligkeit  $t^*$ 

TLS18; adaptierte CIELAB-Daten

	$L^*=L^*_a$	$a^*_a$	$b^*_a$	$C^*_{ab,a}$	$h^*_{ab,a}$
O <sub>Ma</sub>	52.76	71.63	49.88	87.29	35
Y <sub>Ma</sub>	92.74	-20.02	84.97	87.3	103
L <sub>Ma</sub>	84.0	-78.98	73.94	108.2	137
C <sub>Ma</sub>	87.14	-44.41	-13.11	46.32	196
V <sub>Ma</sub>	35.47	64.92	-95.06	115.12	304
M <sub>Ma</sub>	59.01	89.33	-55.67	105.26	328
N <sub>Ma</sub>	18.01	0.0	0.0	0.0	0
W <sub>Ma</sub>	95.41	0.0	0.0	0.0	0
R <sub>CIE</sub>	39.92	58.74	27.99	65.07	25
J <sub>CIE</sub>	81.26	-2.88	71.56	71.62	92
G <sub>CIE</sub>	52.23	-42.41	13.6	44.55	162
B <sub>CIE</sub>	30.57	1.41	-46.46	46.49	272



NG890-7, 3stufige Reihen für konstanten CIELAB Buntton 304/360 = 0.845 (links)

5stufige Reihen für konstanten CIELAB Buntton 304/360 = 0.845 (rechts)

BAM-Prüfvorlage NG89; Farbmetrik-Systeme ORS18 &amp; ORS18input: olv\* setrgbcolor

D65: 3 und 5stufige Farbreihen für 10 Bunttöne

output: Startup (S) data dependend

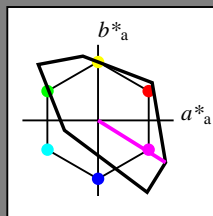
Eingabe: Farbmetrisches Fernseh-Licht-System TLS18

für Buntton  $h^* = lab^*h = 328/360 = 0.911$  $lab^*ich$  und  $lab^*nch$ 

D65: Buntton M

LCH\*Ma: 59 105 328

olv\*Ma: 1.0 0.0 1.0

Dreiecks-Helligkeit  $t^*$ 

TLS18; adaptierte CIELAB-Daten

	$L^*=L^*_a$	$a^*_a$	$b^*_a$	$C^*_{ab,a}$	$h^*_{ab,a}$
O <sub>Ma</sub>	52.76	71.63	49.88	87.29	35
Y <sub>Ma</sub>	92.74	-20.02	84.97	87.3	103
L <sub>Ma</sub>	84.0	-78.98	73.94	108.2	137
C <sub>Ma</sub>	87.14	-44.41	-13.11	46.32	196
V <sub>Ma</sub>	35.47	64.92	-95.06	115.12	304
M <sub>Ma</sub>	59.01	89.33	-55.67	105.26	328
N <sub>Ma</sub>	18.01	0.0	0.0	0.0	0
W <sub>Ma</sub>	95.41	0.0	0.0	0.0	0
R <sub>CIE</sub>	39.92	58.74	27.99	65.07	25
J <sub>CIE</sub>	81.26	-2.88	71.56	71.62	92
G <sub>CIE</sub>	52.23	-42.41	13.6	44.55	162
B <sub>CIE</sub>	30.57	1.41	-46.46	46.49	272

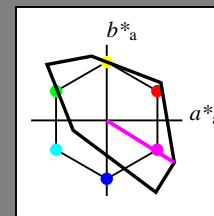
Ausgabe: Farbmetrisches Fernseh-Licht-System TLS18

für Buntton  $h^* = lab^*h = 328/360 = 0.911$  $lab^*ich$  und  $lab^*nch$ 

D65: Buntton M

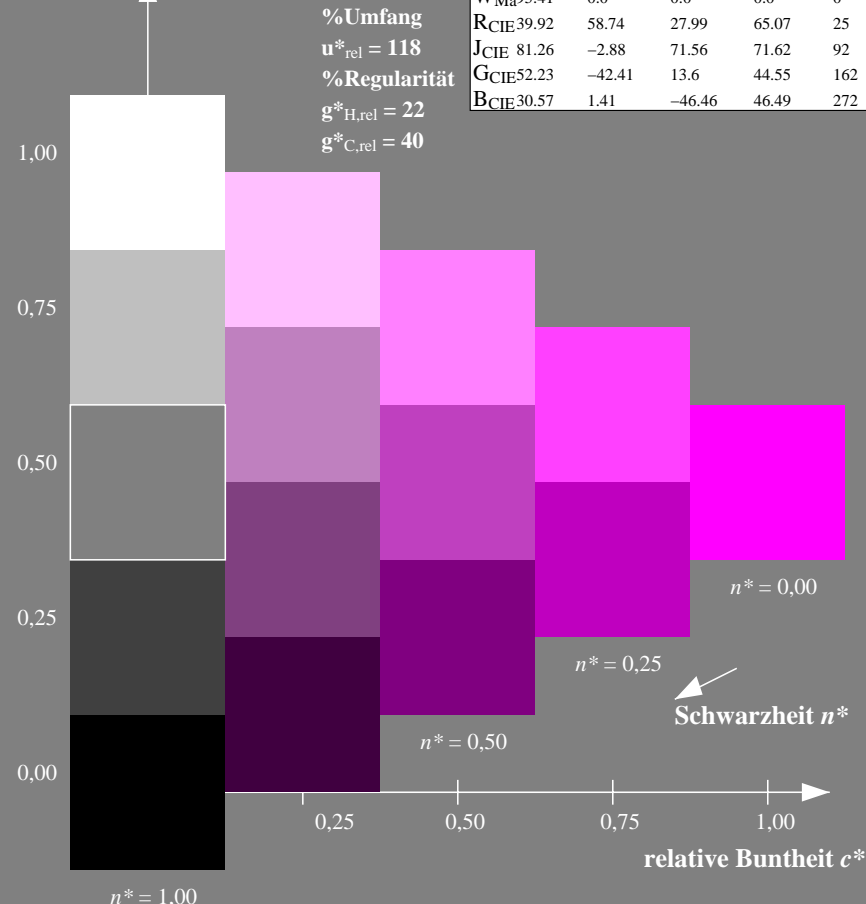
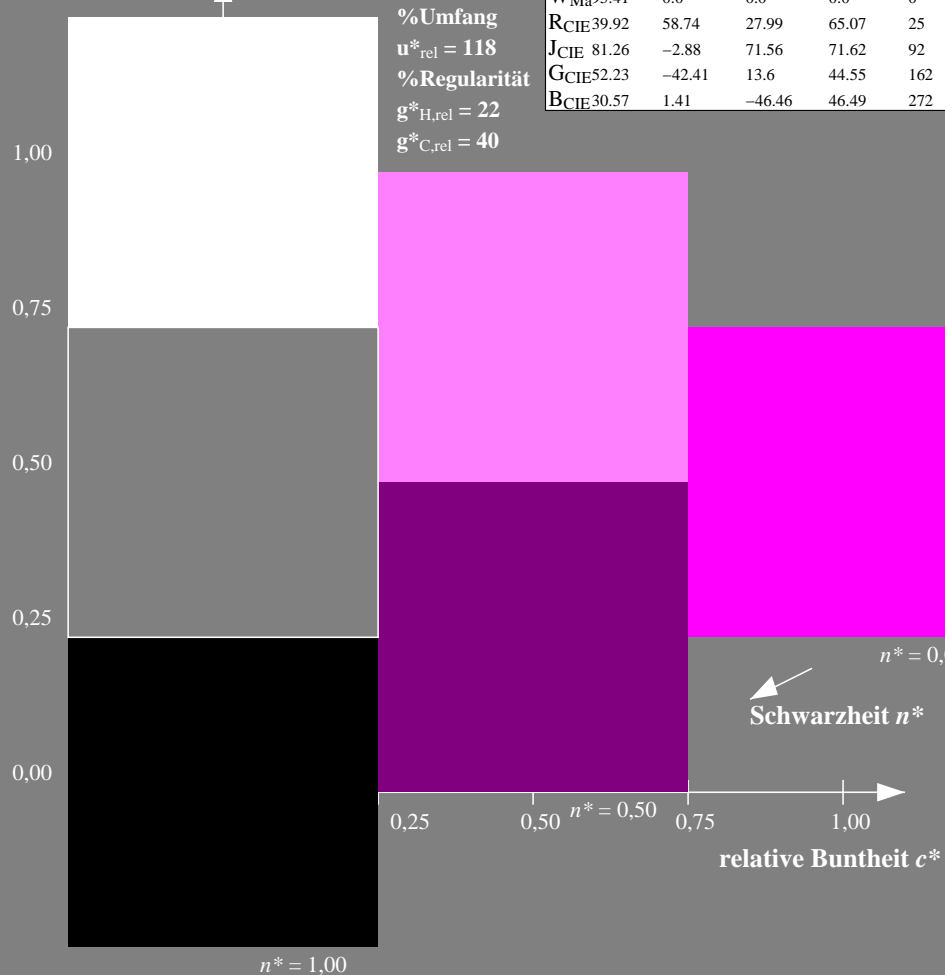
LCH\*Ma: 59 105 328

olv\*Ma: 1.0 0.0 1.0

Dreiecks-Helligkeit  $t^*$ 

TLS18; adaptierte CIELAB-Daten

	$L^*=L^*_a$	$a^*_a$	$b^*_a$	$C^*_{ab,a}$	$h^*_{ab,a}$
O <sub>Ma</sub>	52.76	71.63	49.88	87.29	35
Y <sub>Ma</sub>	92.74	-20.02	84.97	87.3	103
L <sub>Ma</sub>	84.0	-78.98	73.94	108.2	137
C <sub>Ma</sub>	87.14	-44.41	-13.11	46.32	196
V <sub>Ma</sub>	35.47	64.92	-95.06	115.12	304
M <sub>Ma</sub>	59.01	89.33	-55.67	105.26	328
N <sub>Ma</sub>	18.01	0.0	0.0	0.0	0
W <sub>Ma</sub>	95.41	0.0	0.0	0.0	0
R <sub>CIE</sub>	39.92	58.74	27.99	65.07	25
J <sub>CIE</sub>	81.26	-2.88	71.56	71.62	92
G <sub>CIE</sub>	52.23	-42.41	13.6	44.55	162
B <sub>CIE</sub>	30.57	1.41	-46.46	46.49	272



NG890-7, 3stufige Reihen für konstanten CIELAB Buntton 328/360 = 0.911 (links)

5stufige Reihen für konstanten CIELAB Buntton 328/360 = 0.911 (rechts)

BAM-Prüfvorlage NG89; Farbmetrik-Systeme ORS18 &amp; ORS18input: olv\* setrgbcolor

D65: 3 und 5stufige Farbreihen für 10 Bunttöne

output: Startup (S) data dependend

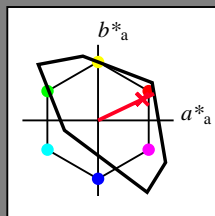
Eingabe: Farbmetrisches Fernseh-Licht-System TLS18

für Buntton  $h^* = lab^*h = 25/360 = 0.071$  $lab^*ich$  und  $lab^*nch$ 

D65: Buntton R

LCH\*Ma: 54 82 25

olv\*Ma: 1.0 0.0 0.14

Dreiecks-Helligkeit  $t^*$ 

%Umfang  
 $u^*_{rel} = 118$   
%Regularität  
 $g^*_{H,rel} = 22$   
 $g^*_{C,rel} = 40$

TLS18; adaptierte CIELAB-Daten

	$L^*=L^*_a$	$a^*_a$	$b^*_a$	$C^*_{ab,a}$	$h^*_{ab,a}$
O <sub>Ma</sub>	52.76	71.63	49.88	87.29	35
Y <sub>Ma</sub>	92.74	-20.02	84.97	87.3	103
L <sub>Ma</sub>	84.0	-78.98	73.94	108.2	137
C <sub>Ma</sub>	87.14	-44.41	-13.11	46.32	196
V <sub>Ma</sub>	35.47	64.92	-95.06	115.12	304
M <sub>Ma</sub>	59.01	89.33	-55.67	105.26	328
N <sub>Ma</sub>	18.01	0.0	0.0	0.0	0
W <sub>Ma</sub>	95.41	0.0	0.0	0.0	0
R <sub>CIE</sub>	39.92	58.74	27.99	65.07	25
J <sub>CIE</sub>	81.26	-2.88	71.56	71.62	92
G <sub>CIE</sub>	52.23	-42.41	13.6	44.55	162
B <sub>CIE</sub>	30.57	1.41	-46.46	46.49	272

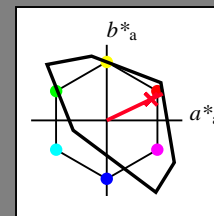
Ausgabe: Farbmetrisches Fernseh-Licht-System TLS18

für Buntton  $h^* = lab^*h = 25/360 = 0.071$  $lab^*ich$  und  $lab^*nch$ 

D65: Buntton R

LCH\*Ma: 54 82 25

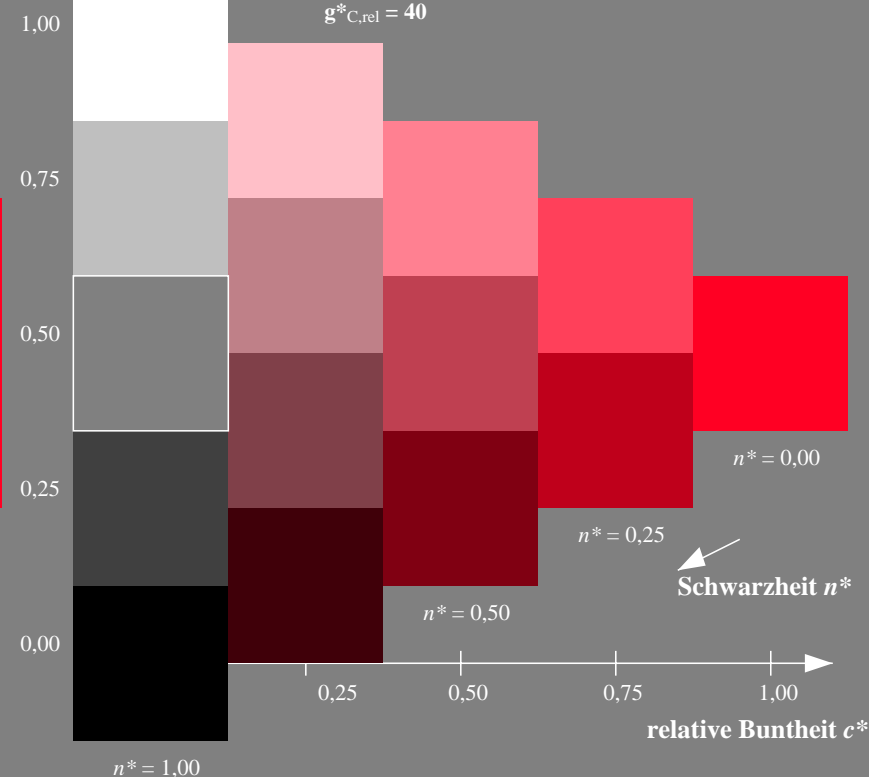
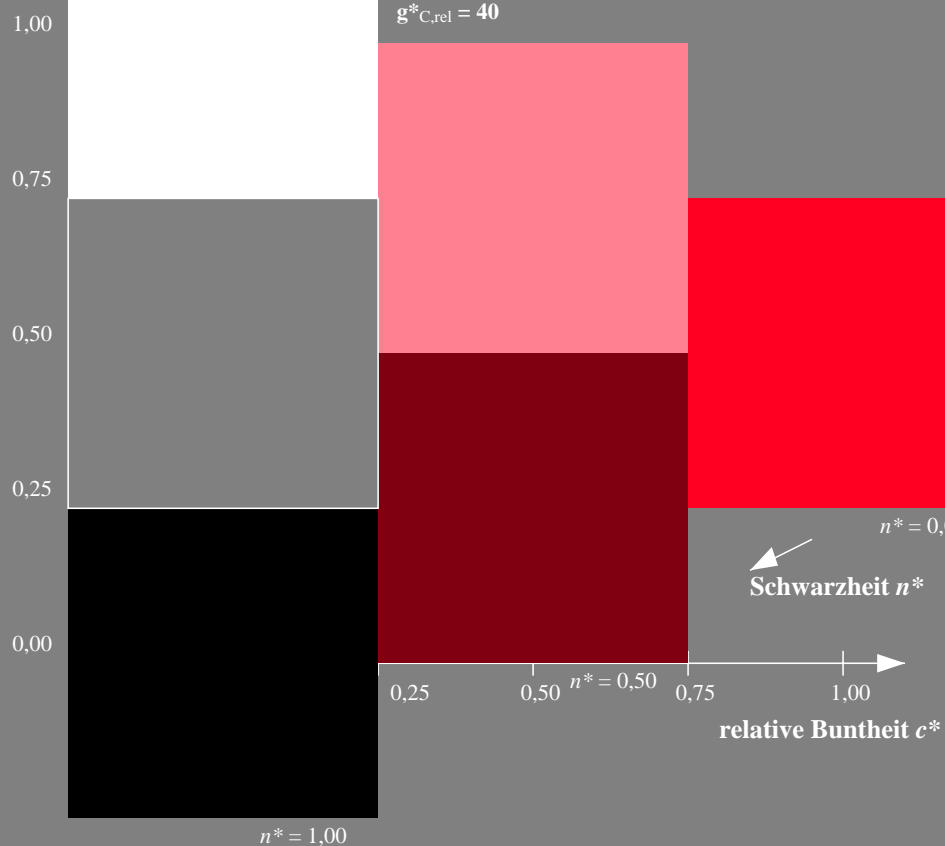
olv\*Ma: 1.0 0.0 0.14

Dreiecks-Helligkeit  $t^*$ 

%Umfang  
 $u^*_{rel} = 118$   
%Regularität  
 $g^*_{H,rel} = 22$   
 $g^*_{C,rel} = 40$

TLS18; adaptierte CIELAB-Daten

	$L^*=L^*_a$	$a^*_a$	$b^*_a$	$C^*_{ab,a}$	$h^*_{ab,a}$
O <sub>Ma</sub>	52.76	71.63	49.88	87.29	35
Y <sub>Ma</sub>	92.74	-20.02	84.97	87.3	103
L <sub>Ma</sub>	84.0	-78.98	73.94	108.2	137
C <sub>Ma</sub>	87.14	-44.41	-13.11	46.32	196
V <sub>Ma</sub>	35.47	64.92	-95.06	115.12	304
M <sub>Ma</sub>	59.01	89.33	-55.67	105.26	328
N <sub>Ma</sub>	18.01	0.0	0.0	0.0	0
W <sub>Ma</sub>	95.41	0.0	0.0	0.0	0
R <sub>CIE</sub>	39.92	58.74	27.99	65.07	25
J <sub>CIE</sub>	81.26	-2.88	71.56	71.62	92
G <sub>CIE</sub>	52.23	-42.41	13.6	44.55	162
B <sub>CIE</sub>	30.57	1.41	-46.46	46.49	272



NG890-7, 3stufige Reihen für konstanten CIELAB Buntton 25/360 = 0.071 (links)

5stufige Reihen für konstanten CIELAB Buntton 25/360 = 0.071 (rechts)

BAM-Prüfvorlage NG89; Farbmetrik-Systeme ORS18 &amp; ORS18input: olv\* setrgbcolor

D65: 3 und 5stufige Farbreihen für 10 Bunttöne

output: Startup (S) data dependend



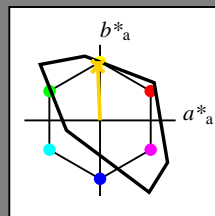
Eingabe: Farbmetrisches Fernseh-Licht-System TLS18

für Buntton  $h^* = lab^*h = 92/360 = 0.256$  $lab^*ich$  und  $lab^*nch$ 

D65: Buntton J

LCH\*Ma: 85 79 92

olv\*Ma: 1.0 0.82 0.0

Dreiecks-Helligkeit  $t^*$ 

%Umfang  
 $u^*_{rel} = 118$   
%Regularität  
 $g^*_{H,rel} = 22$   
 $g^*_{C,rel} = 40$

TLS18; adaptierte CIELAB-Daten

	$L^*=L^*_a$	$a^*_a$	$b^*_a$	$C^*_{ab,a}$	$h^*_{ab,a}$
O <sub>Ma</sub>	52.76	71.63	49.88	87.29	35
Y <sub>Ma</sub>	92.74	-20.02	84.97	87.3	103
L <sub>Ma</sub>	84.0	-78.98	73.94	108.2	137
C <sub>Ma</sub>	87.14	-44.41	-13.11	46.32	196
V <sub>Ma</sub>	35.47	64.92	-95.06	115.12	304
M <sub>Ma</sub>	59.01	89.33	-55.67	105.26	328
N <sub>Ma</sub>	18.01	0.0	0.0	0.0	0
W <sub>Ma</sub>	95.41	0.0	0.0	0.0	0
R <sub>CIE</sub>	39.92	58.74	27.99	65.07	25
J <sub>CIE</sub>	81.26	-2.88	71.56	71.62	92
G <sub>CIE</sub>	52.23	-42.41	13.6	44.55	162
B <sub>CIE</sub>	30.57	1.41	-46.46	46.49	272

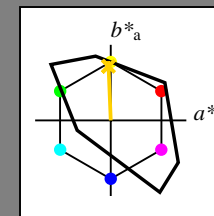
Ausgabe: Farbmetrisches Fernseh-Licht-System TLS18

für Buntton  $h^* = lab^*h = 92/360 = 0.256$  $lab^*ich$  und  $lab^*nch$ 

D65: Buntton J

LCH\*Ma: 85 79 92

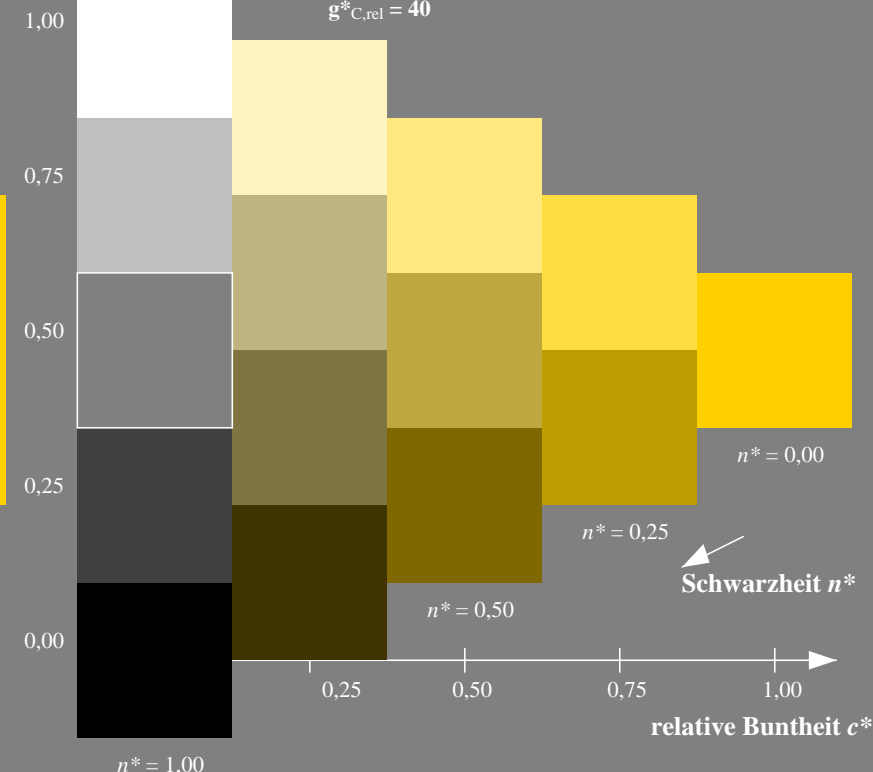
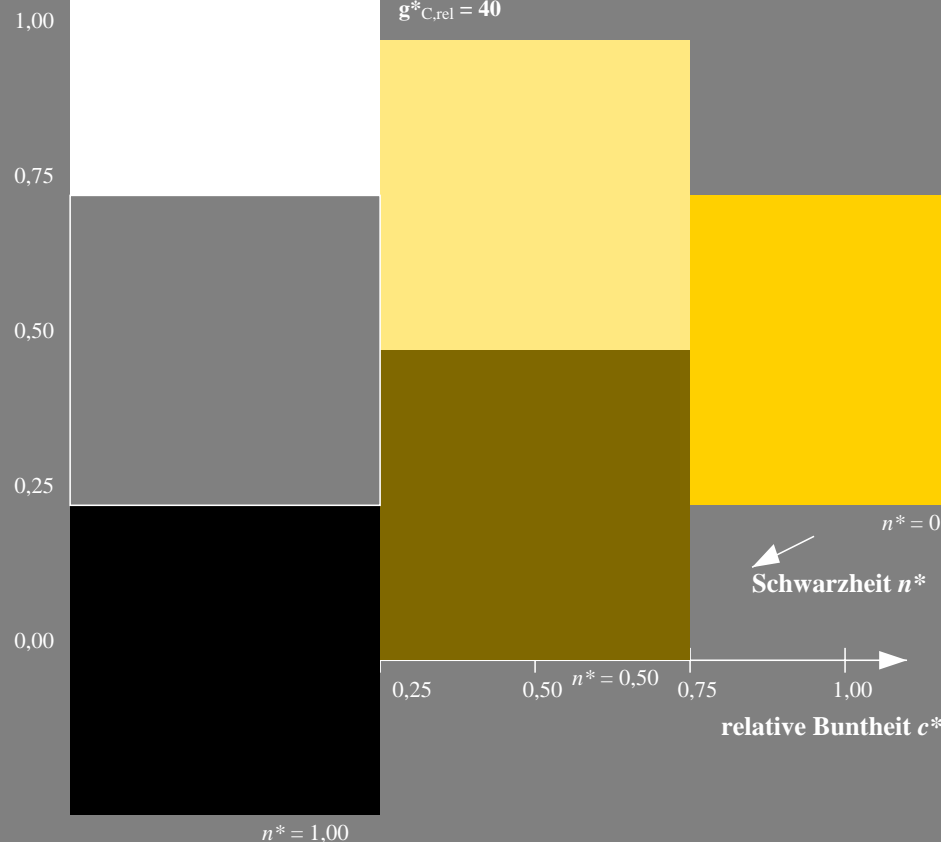
olv\*Ma: 1.0 0.82 0.0

Dreiecks-Helligkeit  $t^*$ 

%Umfang  
 $u^*_{rel} = 118$   
%Regularität  
 $g^*_{H,rel} = 22$   
 $g^*_{C,rel} = 40$

TLS18; adaptierte CIELAB-Daten

	$L^*=L^*_a$	$a^*_a$	$b^*_a$	$C^*_{ab,a}$	$h^*_{ab,a}$
O <sub>Ma</sub>	52.76	71.63	49.88	87.29	35
Y <sub>Ma</sub>	92.74	-20.02	84.97	87.3	103
L <sub>Ma</sub>	84.0	-78.98	73.94	108.2	137
C <sub>Ma</sub>	87.14	-44.41	-13.11	46.32	196
V <sub>Ma</sub>	35.47	64.92	-95.06	115.12	304
M <sub>Ma</sub>	59.01	89.33	-55.67	105.26	328
N <sub>Ma</sub>	18.01	0.0	0.0	0.0	0
W <sub>Ma</sub>	95.41	0.0	0.0	0.0	0
R <sub>CIE</sub>	39.92	58.74	27.99	65.07	25
J <sub>CIE</sub>	81.26	-2.88	71.56	71.62	92
G <sub>CIE</sub>	52.23	-42.41	13.6	44.55	162
B <sub>CIE</sub>	30.57	1.41	-46.46	46.49	272



NG890-7, 3stufige Reihen für konstanten CIELAB Buntton 92/360 = 0.256 (links)

5stufige Reihen für konstanten CIELAB Buntton 92/360 = 0.256 (rechts)

BAM-Prüfvorlage NG89; Farbmetrik-Systeme ORS18 &amp; ORS18input: olv\* setrgbcolor

D65: 3 und 5stufige Farbreihen für 10 Bunttöne

output: Startup (S) data dependend



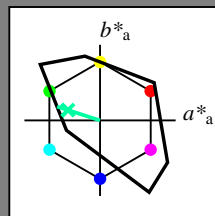
Eingabe: Farbmetrisches Fernseh-Licht-System TLS18

für Buntton  $h^* = lab^*h = 162/360 = 0.451$  $lab^*ich$  und  $lab^*nch$ 

D65: Buntton G

LCH\*Ma: 86 60 162

olv\*Ma: 0.0 1.0 0.64

Dreiecks-Helligkeit  $t^*$ 

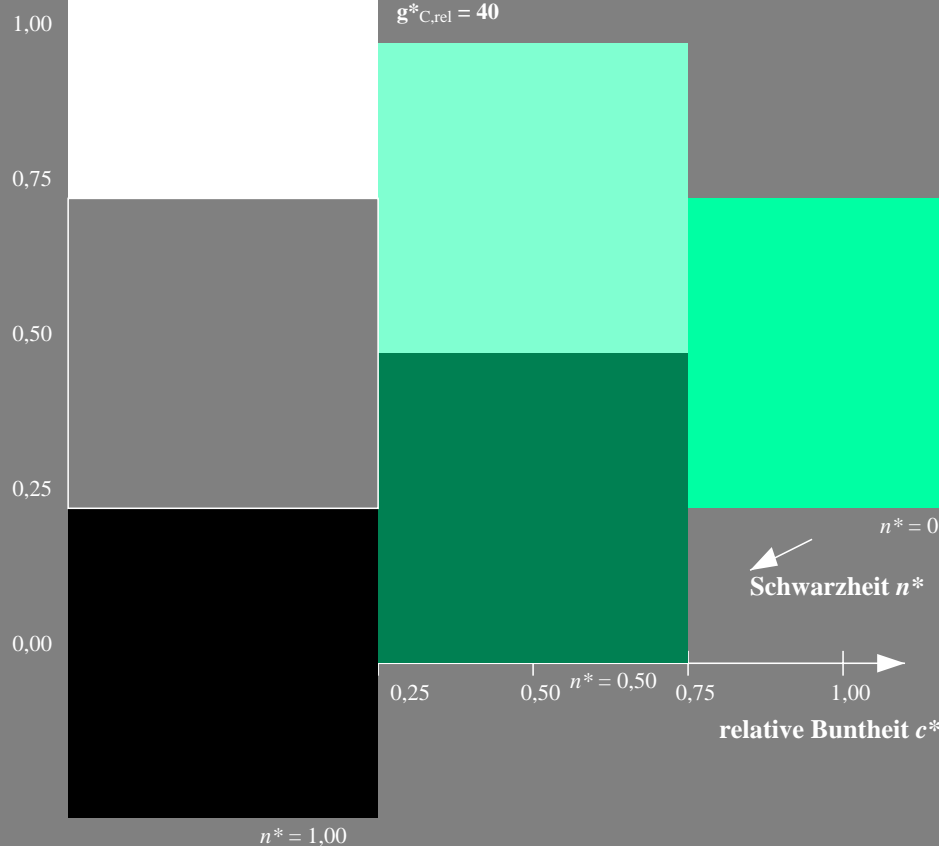
TLS18; adaptierte CIELAB-Daten

	$L^*=L^*_a$	$a^*_a$	$b^*_a$	$C^*_{ab,a}$	$h^*_{ab,a}$
O <sub>Ma</sub>	52.76	71.63	49.88	87.29	35
Y <sub>Ma</sub>	92.74	-20.02	84.97	87.3	103
L <sub>Ma</sub>	84.0	-78.98	73.94	108.2	137
C <sub>Ma</sub>	87.14	-44.41	-13.11	46.32	196
V <sub>Ma</sub>	35.47	64.92	-95.06	115.12	304
M <sub>Ma</sub>	59.01	89.33	-55.67	105.26	328
N <sub>Ma</sub>	18.01	0.0	0.0	0.0	0
W <sub>Ma</sub>	95.41	0.0	0.0	0.0	0
R <sub>CIE</sub>	39.92	58.74	27.99	65.07	25
J <sub>CIE</sub>	81.26	-2.88	71.56	71.62	92
G <sub>CIE</sub>	52.23	-42.41	13.6	44.55	162
B <sub>CIE</sub>	30.57	1.41	-46.46	46.49	272

%Umfang

 $u^*_{rel} = 118$ 

%Regularität

 $g^*_{H,rel} = 22$  $g^*_{C,rel} = 40$ 

NG890-7, 3stufige Reihen für konstanten CIELAB Buntton 162/360 = 0.451 (links)

BAM-Prüfvorlage NG89; Farbmetrik-Systeme ORS18 &amp; ORS18input: olv\* setrgbcolor

D65: 3 und 5stufige Farbreihen für 10 Bunttöne

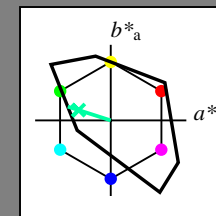
Ausgabe: Farbmetrisches Fernseh-Licht-System TLS18

für Buntton  $h^* = lab^*h = 162/360 = 0.451$  $lab^*ich$  und  $lab^*nch$ 

D65: Buntton G

LCH\*Ma: 86 60 162

olv\*Ma: 0.0 1.0 0.64

Dreiecks-Helligkeit  $t^*$ 

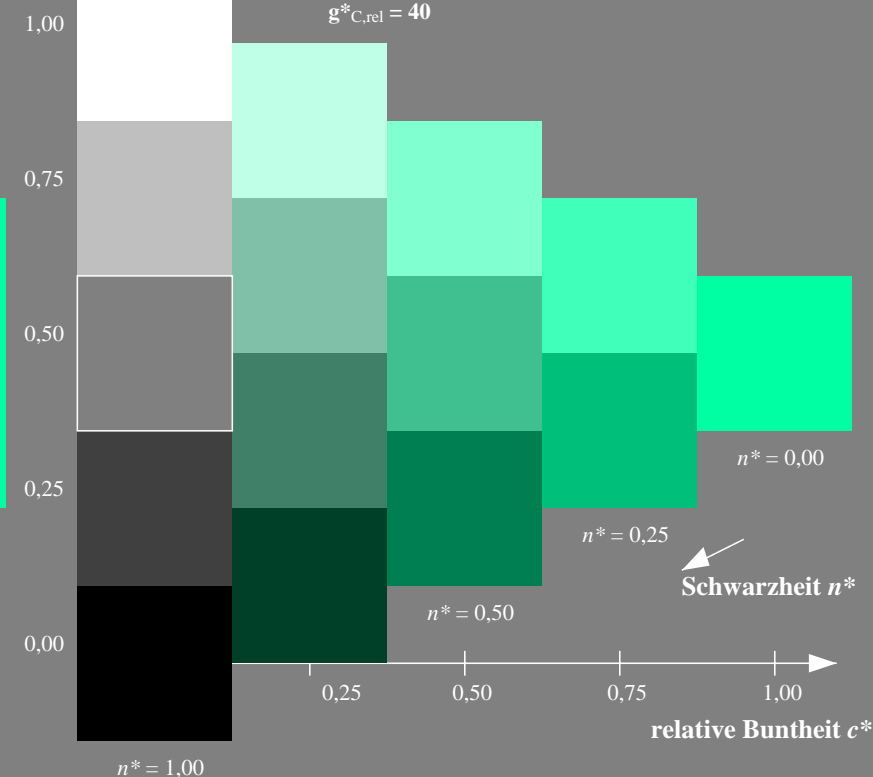
TLS18; adaptierte CIELAB-Daten

	$L^*=L^*_a$	$a^*_a$	$b^*_a$	$C^*_{ab,a}$	$h^*_{ab,a}$
O <sub>Ma</sub>	52.76	71.63	49.88	87.29	35
Y <sub>Ma</sub>	92.74	-20.02	84.97	87.3	103
L <sub>Ma</sub>	84.0	-78.98	73.94	108.2	137
C <sub>Ma</sub>	87.14	-44.41	-13.11	46.32	196
V <sub>Ma</sub>	35.47	64.92	-95.06	115.12	304
M <sub>Ma</sub>	59.01	89.33	-55.67	105.26	328
N <sub>Ma</sub>	18.01	0.0	0.0	0.0	0
W <sub>Ma</sub>	95.41	0.0	0.0	0.0	0
R <sub>CIE</sub>	39.92	58.74	27.99	65.07	25
J <sub>CIE</sub>	81.26	-2.88	71.56	71.62	92
G <sub>CIE</sub>	52.23	-42.41	13.6	44.55	162
B <sub>CIE</sub>	30.57	1.41	-46.46	46.49	272

%Umfang

 $u^*_{rel} = 118$ 

%Regularität

 $g^*_{H,rel} = 22$  $g^*_{C,rel} = 40$ 

5stufige Reihen für konstanten CIELAB Buntton 162/360 = 0.451 (rechts)

output: Startup (S) data dependend

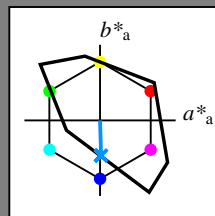
Eingabe: Farbmetrisches Fernseh-Licht-System TLS18

für Buntton  $h^* = lab^*h = 272/360 = 0.755$  $lab^*ich$  und  $lab^*nch$ 

D65: Buntton B

LCH\*Ma: 65 48 272

olv\*Ma: 0.0 0.58 1.0

Dreiecks-Helligkeit  $t^*$ 

TLS18; adaptierte CIELAB-Daten

	$L^*=L^*_a$	$a^*_a$	$b^*_a$	$C^*_{ab,a}$	$h^*_{ab,a}$
O <sub>Ma</sub>	52.76	71.63	49.88	87.29	35
Y <sub>Ma</sub>	92.74	-20.02	84.97	87.3	103
L <sub>Ma</sub>	84.0	-78.98	73.94	108.2	137
C <sub>Ma</sub>	87.14	-44.41	-13.11	46.32	196
V <sub>Ma</sub>	35.47	64.92	-95.06	115.12	304
M <sub>Ma</sub>	59.01	89.33	-55.67	105.26	328
N <sub>Ma</sub>	18.01	0.0	0.0	0.0	0
W <sub>Ma</sub>	95.41	0.0	0.0	0.0	0
R <sub>CIE</sub>	39.92	58.74	27.99	65.07	25
J <sub>CIE</sub>	81.26	-2.88	71.56	71.62	92
G <sub>CIE</sub>	52.23	-42.41	13.6	44.55	162
B <sub>CIE</sub>	30.57	1.41	-46.46	46.49	272

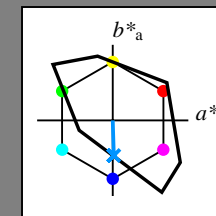
Ausgabe: Farbmetrisches Fernseh-Licht-System TLS18

für Buntton  $h^* = lab^*h = 272/360 = 0.755$  $lab^*ich$  und  $lab^*nch$ 

D65: Buntton B

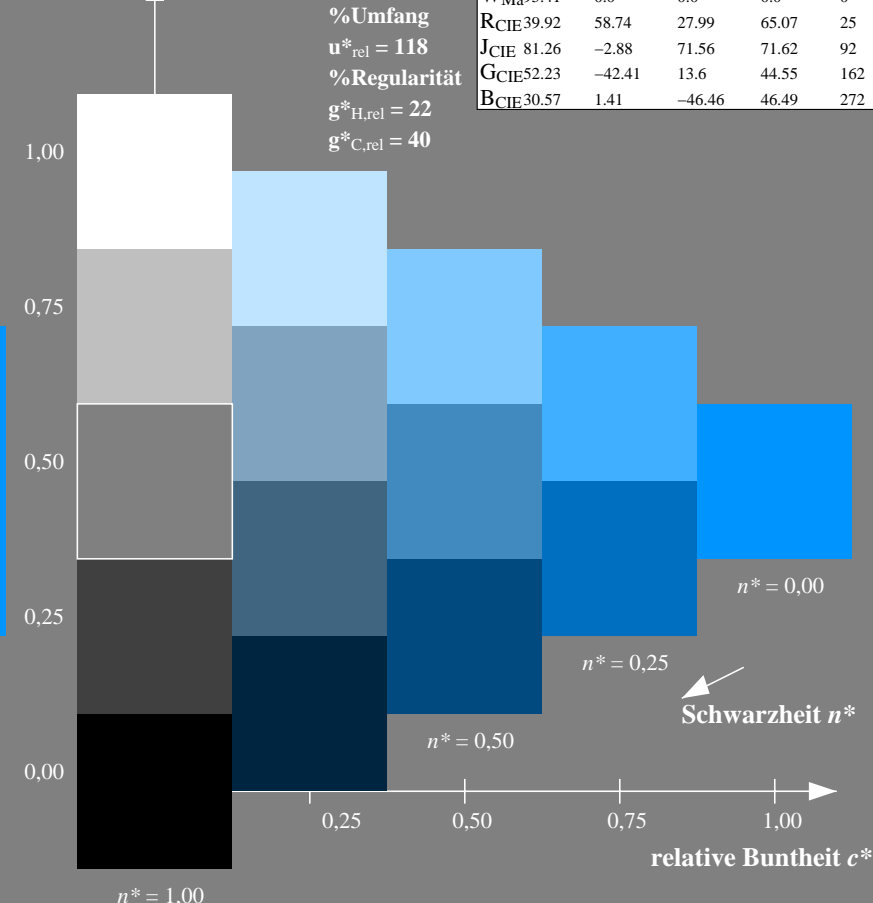
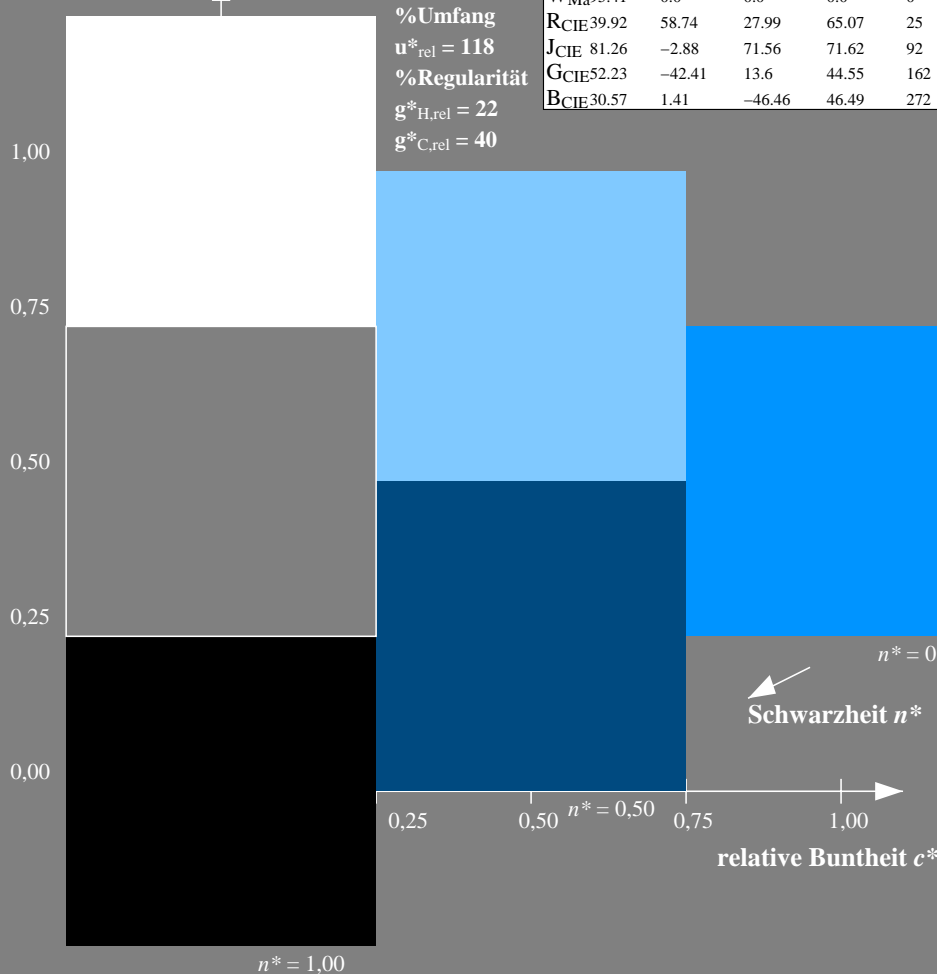
LCH\*Ma: 65 48 272

olv\*Ma: 0.0 0.58 1.0

Dreiecks-Helligkeit  $t^*$ 

TLS18; adaptierte CIELAB-Daten

	$L^*=L^*_a$	$a^*_a$	$b^*_a$	$C^*_{ab,a}$	$h^*_{ab,a}$
O <sub>Ma</sub>	52.76	71.63	49.88	87.29	35
Y <sub>Ma</sub>	92.74	-20.02	84.97	87.3	103
L <sub>Ma</sub>	84.0	-78.98	73.94	108.2	137
C <sub>Ma</sub>	87.14	-44.41	-13.11	46.32	196
V <sub>Ma</sub>	35.47	64.92	-95.06	115.12	304
M <sub>Ma</sub>	59.01	89.33	-55.67	105.26	328
N <sub>Ma</sub>	18.01	0.0	0.0	0.0	0
W <sub>Ma</sub>	95.41	0.0	0.0	0.0	0
R <sub>CIE</sub>	39.92	58.74	27.99	65.07	25
J <sub>CIE</sub>	81.26	-2.88	71.56	71.62	92
G <sub>CIE</sub>	52.23	-42.41	13.6	44.55	162
B <sub>CIE</sub>	30.57	1.41	-46.46	46.49	272



NG890-7, 3stufige Reihen für konstanten CIELAB Buntton 272/360 = 0.755 (links)

5stufige Reihen für konstanten CIELAB Buntton 272/360 = 0.755 (rechts)

BAM-Prüfvorlage NG89; Farbmetrik-Systeme ORS18 &amp; ORS18input: olv\* setrgbcolor

D65: 3 und 5stufige Farbreihen für 10 Bunttöne

output: Startup (S) data dependend